警,另一组用于自动保护。干簧管 A和C 通过电流较大,选用 JAG—2—H型,其尺寸 为 \$\phi 4 \times 36。干簧管 B仍用 JAG—4—H型。 按流量需要活动传感器可沿螺杆任意调位。

仪表盘10用3~5毫米有机玻璃板制成,按照上下座外径弯成弧形,用铜螺丝固定到上下座上。所有其它元件,如信号灯、音响器、开关、接线柱、磁控元件组和多线插头座等均安装在该板上。

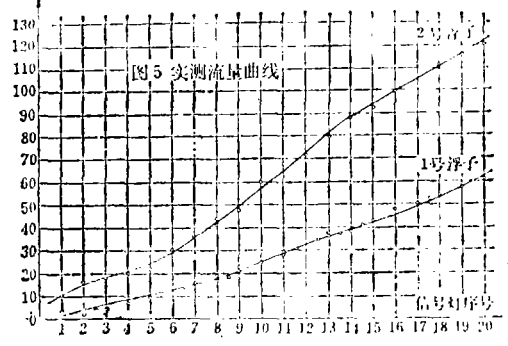
正常工作时(作流量显示时)总电流一般不超过0.3A,但自动报警和自动保护电路接通时,短时电流较大,可达1~2A。故电源可用6.3V×2A的一般整流电源装置。

## 流量标定

该流量计已进行了初步室内试验。从试验结果来看,达到了设计要求,工作平稳,反应灵敏,流量显示醒目,并有足够的精度(<±5%),自动警报和保护动作可靠。

流量标定用清水,用阀门控制流量大小,测试仪表用LXS型叶轮湿式水表,以秒





表计时来标定指示灯的刻度。

用1号浮子(材质为纯铝)进行 试验时,其量程达60公升/分。

换用2号浮子(材料是黄铜),几何形状不变,量程可提高到100公升/分,一般能满足金刚石钻进的需要。

上述两种浮子的试验曲线见图5。

1号浮子: 重量262克, 你积82.17厘米3,比重3.18克/厘米3。

2号浮子: 重量810克, 体积82.17厘米<sup>3</sup>, 比重7.42克/厘米<sup>3</sup>。

# 与北京 800 型钻机配套的小口径高速转盘

西北冶金地质勘探公司机修厂 孙 栋

为了推广人造金刚石钻探技术,我们对 北京800型钻机做了改进。制造了与之配套 的小口径高速转盘。使用结果表明,基本上 满足了高速钻进的工艺要求。

#### 高速转盘的主要技术性能

最大开孔直径 ф91

转盘通孔直径 φ94

转盘可变角度 70~90°

增速器变挡级数 2

转速(转/分) 正转6级:955、650、358、

283, 192, 105

反转2级,264、77

适应孔深

800~1000米

#### 结构

这种高速转盘,是迁就北京800型钻机 升降和给进系统而设计的。在小转盘一侧安 装一增速器,使转盘提高转速并增加挡数。 传动系统如图1所示。它由底座、增速器和 转盘三部分组成。底座为一焊接件,作安装 增速器和转盘之用。

增速器如图 2 所示。为 二 级 齿 轮变速 箱,由原钻机传动系统链轮驱动,经两挡变 速后,使转盘获得高低两挡转速。动力经原 钻机传动系统传来后,可获得八级转速(六 级正转,二级反转),扩大了钻机性能。

转盘结构如图 3 所示,为一伞齿轮减速 装置,与北京型转盘相似,但结构不同,其 特点是:采用箱体定位,外定心结构,即立 轴回转部分的转动零件,如大伞齿轮 4、套 轴 7、大盖18等,均以轴承 3、6、8定位,安装于箱体 5上,所有载荷由箱体 5承 受。心管17与回转零件不接触,只起扭卸管 作用,改变了过去北京型钻机以心管定位的 内定心结构的缺点。为提高传动件的刚性, 将转盘左右轴颈座加宽,在转盘伞齿轮轴端 和增速器链轮轴端,采用两套轴承,并保证 原升降机中心与转盘中心的一致性。

## 优 点

- 1.转盘采用箱体定位, 外定心结构,提高了传动的 平稳性和刚性。
- 2.转盘的轴承,安装于 箱体上,并位于大伞齿轮之外,使轴承和伞齿轮均能得 到充分的润滑和冷却,和及切 起著下降,提高了轴承及了 起著下降,提高了轴承及了 转零件的寿命,并消除显同 转零件与箱体之了间则外见 ,有效地防止了油封槽。 大种,不使脏物进入转盘体内。
- 3.为适应高速传动,立 轴回转部份采用向心球轴承 和推力球轴承结构,传动阻 力小,轴承间隙调节量小并 易于调整。
- 4.增速器采用整体箱式结构,构造简单,刚性强。
- 5.增速器变速,采用小齿轮滑动,变速轻快,大齿轮起到甩油轮的作用,使各轴齿轮及轴承都得到充分润滑,消除了过热和温

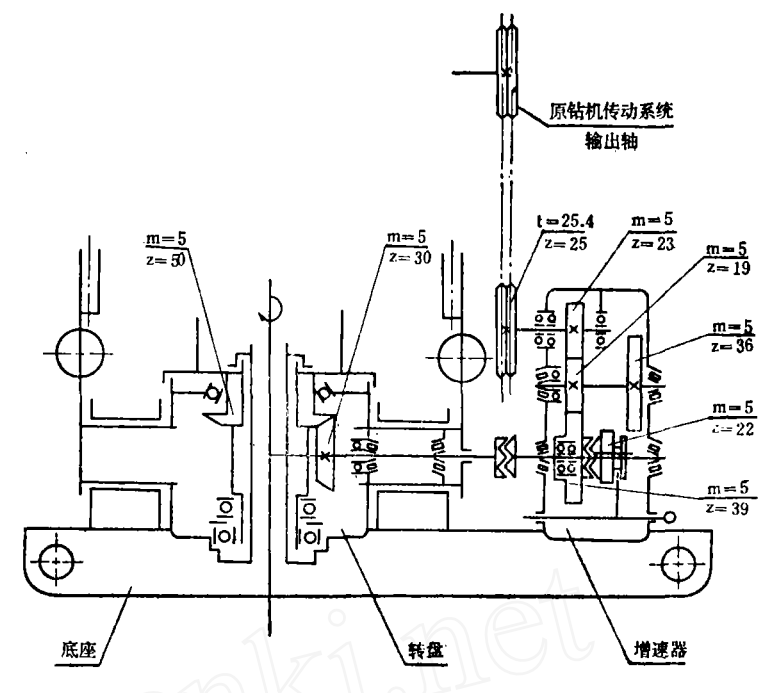
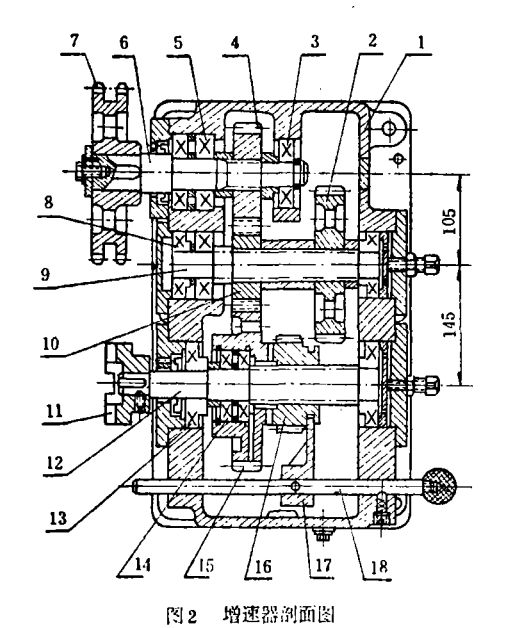


图1 传动系统图

## 升现象。

6.保持了转盘中心至链轮的距离与大转盘相同的尺寸。底座安装尺寸与大转盘基本相同,并可互换使用。既可用于大口径开孔,又可用于小口径高速钻进。



- 1, 增速器箱体;
- 2. 齿轮(m5, z36);
- 3. 向心球轴承307;
- 4. 齿轮(m5, z23);
- 5.向心球轴承308;
- 6. I轴;
- 7.链轮(t25.4, z25);
- 8. 锥柱轴承7307;
- 9 T轴
- 10. 齿轮(m5, z19);
- 11. 半联轴节;
- 12. 输出轴
- 13. 锥柱轴承7309;
- 14. 向心球轴承210;
- 15. 齿轮(m5, z39);
- 16. 滑动齿轮(m5, z22); 17. 拨叉;
- 18. 变速杆

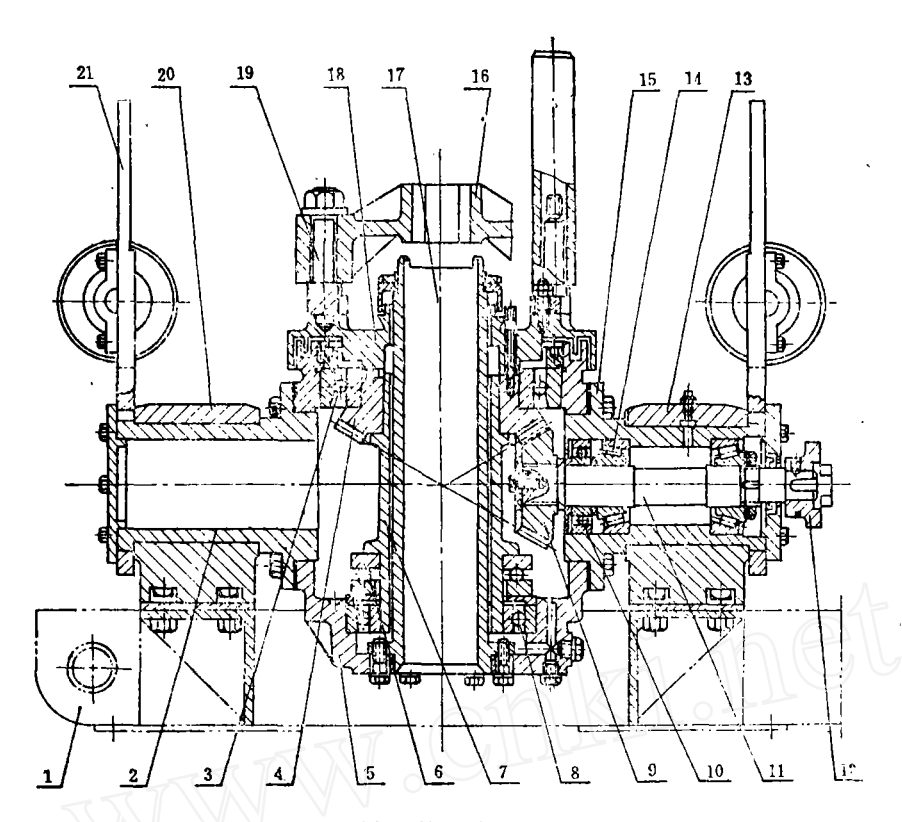


图3 转盘剖面图

1. 底座; 2. 左轴颈; 3. 向心推力轴承46138; 4. 大伞齿轮(m5, z30); 5. 箱体;

6.推力球轴承8230, 7.套轴, 8.向心球轴承130, 9.小伞齿轮(m5, z30),

10. 向心球轴承310, 11. 全齿轮轴, 12. 半联轴节, 13. 右轴颈座,

14. 惟柱轴承7610; 15. 右轴颈; 16. 回转器; 17. 心管; 18. 大盖; 19. 扭柱; 20. 左轴颈座; 21. 轴板架

## 电阻率各向异性参数可用作 找矿勘探的地球物理参数

在挪威北部雷帕弗乔德的一个矿化较弱的斑铜矿和黄铜矿矿区,进行飞电阻率测量。将平行和垂直走向测得的电阻率,换算成各向异性系数,并沿剖面作图,结果证明此缘数对矿化反应灵敏。以前曾用中间梯度、似即使不破碎带引起的IP大异常,但此各向异性系数并未受该低阻破碎带的影响。IP与电阻率各向异性参数有良好的相关关系。

摘译自《Geoexploration》, 1978, Vol. 16, No. 4

### 充电法在芬兰北部的应用

在芬兰汉努开和索克里两地区曾 用充电法进行夕卡岩铁矿的勘探,研 究了夕卡岩整个构造以及矿体不同部 分的相连问题,在同一夕卡岩中,磁 铁矿透镜体组成了规模大的良导体, 所测得的电位值只有十到几十毫伏。

在索克里地区的碳酸盐地块中, 单个的磁铁橄磷岩(Phoscorite)的 规模和电导率都不大。但用几个位置 不同的接地电极,可利用充电法来确 定矿体之间的连接和结构构造。

> 摘译自《Geoexploration》, 1978, Vol. 16, No. 4

### 用铅同位素评价铁帽

在铁帽上进行铅同位素测量,是勘探"层控"Pb—Zn—Cu矿床的一种手段。此法基于层控矿体的均匀。 位素成分,基于其比率与所谓的"生长曲线"密切的拟合。这二者也是表征原生硫化矿氧化露头(铁帽)的是生态。对于由已知矿导生的真铁帽,经过检验证明,在氧化作用过程中保留均匀的Pb同位素比率。在这些已知矿中,从铁帽到原生硫化矿的垂向深 度不同, 年代和地质环境也都不同。

在找矿过程中,在斯探阶段都可用铅同位紊法。如果打到硫化物,即使它们都可能含有浓度相似的贱金属,也可用铅同位素来区分无矿的硫化物和有经济价值的硫化矿。

摘译自《J. Geochem. Explor. 》, Vol. 11, No. 3